

ДИФФЕРЕНЦИАЛЬНЫЕ УРАВНЕНИЯ  
И

ПРОЦЕССЫ УПРАВЛЕНИЯ

№ 1, 2002

Электронный журнал,  
рег. № П23275 от 07.03.97

<http://www.neva.ru/journal>

e-mail: [diff@osipenko.stu.neva.ru](mailto:diff@osipenko.stu.neva.ru)

Прикладные задачи

# ЧИСЛЕННЫЙ МЕТОД ТЕПЛОВЫХ БАЛАНСОВ РЕШЕНИЯ ЗАДАЧ ТЕПЛОПРОВОДНОСТИ ДЛЯ ОБЛАСТЕЙ СЛОЖНОЙ ФОРМЫ

В.И. Антонов

Россия, 195251, Санкт-Петербург, ул. Политехническая, д.29  
Санкт-Петербургский Государственный Технический Университет  
Кафедра "Высшая математика"

## Аннотация.

Представлен метод решения задачи теплопроводности для областей произвольной формы. Доказана сходимость, приведены оценки погрешности. Метод использован для расчета нагрева слитков в печах.

При численном решении задач теплопроводности для областей сложной геометрической формы на прямоугольных сетках возникает проблема аппроксимации граничных условий, так как точки границы, как правило, не совпадают с узлами сетки. В работе представлен метод решения подобных задач, основанный на законах теплопроводности Фурье и сохранения энергии.

Разобьём плоскую область ( $S$ ) на треугольники (рис. 1). Граница  $\Gamma$  области при этом аппроксимируется замкнутой ломаной линией. При малых размерах элементов (треугольников) температура в них меняется по линейному закону

$$T(x, y, t) = A_0 + A_1x + A_2y, \quad (1)$$

где  $x, y$  – декартовы координаты,  $A_0, A_1, A_2$  – постоянные в фиксированный момент времени.

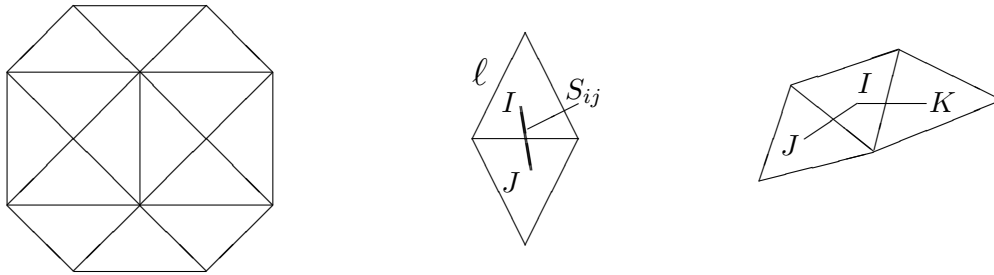


Рис.1. Разбиение области на элементы.

Внутренняя энергия  $k$ -го элемента в фиксированный момент времени

$$\Theta_k = l \iint_{S_k} c\rho T(x, y) dx dy = c\rho T_k S_k l = \frac{\lambda}{a} T_k S_k l, \quad (2)$$

где  $S_k = \iint_{S_k} dx dy$  – площадь элемента,  $T_k$  – средняя температура элемента.

Рассмотрим два соседних равносторонних треугольника со стороной  $L$  и расстоянием между центрами  $r_{ij} = L\sqrt{3}$ . Вследствие линейности температурного поля плотность потока тепла в направлении  $r_{ij}$

$$q_{ij} = -\lambda \text{grad } T_{r_{ij}} = \lambda \frac{T_i - T_j}{r_{ij}} = \frac{\lambda}{r_{ij}} \left( \frac{a}{\lambda} \left( \frac{\Theta_i}{S_i} - \frac{\Theta_j}{S_j} \right) \right), \quad \frac{Bm}{m^2}. \quad (3)$$

Количество тепла, проходящее через ребро в единицу времени

$$Q_{ij} = q_{ij} L_{ij} l = a \left( \frac{\Theta_i}{S_i} - \frac{\Theta_j}{S_j} \right) \alpha_{ij} l, \quad Bm. \quad (4)$$

При этом учитывается, что отрезок  $r_{ij}$  перпендикулярен ребру  $L_{ij}$ .

Вблизи границы элементы будут деформироваться, поэтому необходимо привлечь соседний элемент (рис.1). Введем единичные векторы: нормали к ребру  $\vec{n}$ , направления  $ij$   $\vec{n}_1 = \vec{ij}/|\vec{ij}|$ , направления  $ik$   $\vec{n}_k = \vec{ik}/|\vec{ik}|$ . Пусть  $q_x$  и  $q_y$  – проекции на оси  $x$ ,  $y$ . Тогда

$$q_x = \frac{q_{ij}n_{2y} - q_{ik}n_{1y}}{d}, \quad q_y = \frac{q_{ik}n_{1x} - q_{ij}n_{2y}}{d}, \quad d = n_{1x}n_{2y} - n_{2x}n_{1y} \neq 0.$$

Проекция вектора плотности теплового потока на нормаль  $n$

$$\vec{q} \vec{n} = q_x n_x + q_y n_y = b_1 q_1 + b_2 q_2, \quad b_1 = \frac{n_x n_{2y} - n_y n_{2x}}{d}, \quad b_2 = \frac{n_y n_{1x} - n_x n_{1y}}{d}.$$

Тепловой поток через ребро неправильного треугольника в единицу времени

$$Q_{ij}^n = (\vec{q} \vec{n}) L_{ij} l, \quad \text{Вт.} \quad (5)$$

Пусть  $\mathfrak{R}_p$  –  $p$ -мерное вещественное евклидово пространство. Рассмотрим  $m$  – мерную переменную внутренних энергий  $\{\Theta\} = \{\theta_1, \dots, \theta_m\} \in \mathfrak{R}_m$ ;  $n$ -мерную переменную тепловых потоков  $\{q^{(n)}\} = \{q_1^{(n)}, \dots, q_n^{(n)}\} \in \mathfrak{R}_n$ , где  $m$  – количество элементов,  $n$  – число ребер. Можно записать линейное преобразование

$$\{Q^n\} = B \{\Theta\} \quad (6)$$

где  $B$  – не зависящая от времени (в предположении постоянства  $a$  и  $\lambda$ ) матрица размерности  $m n$ . Зная потоки через ребра, находим изменение внутренней энергии элементов

$$\Delta \Theta = \Delta \tau (Q_\alpha^n + Q_\beta^n + Q_\gamma^n), \quad (7)$$

где  $\Delta \tau$  – шаг по времени. Формула (7) задает постоянную матрицу  $A$  для определения изменения внутренних энергий

$$\{\Delta \Theta\} = A \{Q^n\}. \quad (8)$$

Формулы (6) и (8) дают явную вычислительную схему

$$\{\Theta^{k+1}\} = \{\Theta^k\} + AB \{Q^k\} = (E + AB) \{\Theta^k\}, \quad \{\Theta^0\} = \{\Theta_0\} \quad (9)$$

где  $k$  – номер итерации по времени. При разбиении области на треугольники желательно сделать так, чтобы большинство из них были правильными.

**Аппроксимация граничных условий.** При построении вычислительной схемы граница  $\Gamma$  области разбивается на участки, каждый из которых аппроксимируется стороной граничного треугольника. Для граничных условий второго рода поток через эту границу полагают равным потоку через криволинейный элемент границы  $\Gamma$ . Оценим совершаемую при этом погрешность. Криволинейный элемент границы  $\Gamma$  можно считать дугой окружности с радиусом  $R \gg L$ . Пусть  $\tilde{Q}$  – поток через дугу  $AB$ ,  $Q$  – значение потока через ребро  $AB$ . Тогда

$$\tilde{Q} - Q = c\rho S l \frac{\partial T}{\partial t} = O(S)$$

где  $S$  – площадь области между границами. Но

$$S = S_{\text{сект}OAB} - S_{\Delta OAB} = R^2 \frac{\varepsilon}{2} - \frac{L}{2} R \left( 1 - \frac{L^2}{8} \right) = \frac{L^3}{16R} = O(L^3).$$

Таким образом,  $\tilde{Q} - Q = O(L^3)$ .

В случае граничных условий первого рода разобьем внутренность области ( $S$ ) на равные правильные треугольники. Внутри области выбираем положение опорного треугольника, начиная с которого строим равномерную треугольную сетку (рис.1). На границе  $\Gamma^*$  этой области  $S^*$  зададим поток следующим образом: на середине граничного ребра проведем перпендикуляр до границы  $\Gamma$  и построим равнобедренный треугольник с центром в этой точке (рис.1). Поток через граничное ребро

$$Q_{pI} = \lambda \frac{L}{r_{pI}} \left( T_p - \frac{a\Theta_I}{\lambda S} \right) l, \quad \text{Вм}, \quad (10)$$

где  $L$  – длина ребра,  $S$  – площадь треугольника,  $r_{pI}$  – расстояние от центра граничного треугольника до границы  $\Gamma$  по нормали к граничному ребру,  $T_p = T_p(M)$  – температура точки границы. Погрешность последней формулы имеет второй порядок аппроксимации.

**Погрешность аппроксимации метода.** Формулы (7) и (8) являются точными, поэтому погрешность возникает только при нахождении теплового потока через боковые ребра элементов. Будем предполагать, что теплообмен через верхнюю и нижнюю грани отсутствует. Тепловой поток через боковую грань элемента в единицу времени

$$\tilde{Q} = l \int_{L_{ij}} q_n(x) dx = l \int_{-\frac{L}{2}}^{\frac{L}{2}} q_n(x) dx, \quad q_n = -\lambda \frac{\partial T}{\partial n} = \lambda \frac{\partial T}{\partial y}.$$

По приближенным формулам  $Q = l\lambda\alpha_{ij}(T_i - T_j) = l\lambda\sqrt{3}(T_i - T_j)$ . Разложим температуру  $T = T(x, y)$  в ряд в окрестности точки  $O$  – центра ребра, получим

$$\begin{aligned} T_i &= T_O - \frac{\partial T(o)}{\partial n} \bar{r} + \frac{1}{2} \frac{\partial^2 T(o)}{\partial n^2} \bar{r}^2 - \frac{1}{6} \frac{\partial^3 T(o^+)}{\partial n^3} \bar{r}^3, \\ T_j &= T_O + \frac{\partial T(o)}{\partial n} \bar{r} + \frac{1}{2} \frac{\partial^2 T(o)}{\partial n^2} \bar{r}^2 + \frac{1}{6} \frac{\partial^3 T(o^-)}{\partial n^3} \bar{r}^3, \quad \bar{r} = \frac{r}{2}, \quad o^+ \in OI, \quad o^- \in OJ. \end{aligned} \quad (11)$$

$$\begin{aligned} T_i - T_j &= -\frac{\partial T(o)}{\partial n} r - \frac{r^3}{48} \left( \frac{\partial^3 T(o^+)}{\partial n^3} - \frac{\partial^3 T(o^-)}{\partial n^3} \right), \\ \frac{\partial T(x)}{\partial n} &= \frac{\partial T(o)}{\partial n} x + \frac{\partial^2 T(o)}{\partial x^2} x + \frac{1}{2} \frac{\partial^3 T(\bar{o})}{\partial n \partial x^2} x^2, \quad \bar{o}(x) \in OX. \end{aligned} \quad (12)$$

Пусть совокупность модулей всех третьих частных производных от температуры по  $x$  и  $y$  ограничена постоянной  $M_3$

$$\left| \frac{\partial^3 T}{\partial x^\alpha \partial y^\beta} \right| \leq M_3, \quad \alpha + \beta = 3, \quad (13)$$

тогда

$$\int_{-\frac{L}{2}}^{\frac{L}{2}} \frac{\partial T}{\partial n} dx = L \frac{\partial T(o)}{\partial n} + \frac{1}{2} \int_{-\frac{L}{2}}^{\frac{L}{2}} \frac{\partial^3 T(o)}{\partial n \partial x^2} x^2 dx = L \frac{\partial T(o)}{\partial n} + \frac{1}{24} \bar{M} L^3, \quad (14)$$

$$\begin{aligned} \delta Q &= -\lambda L \frac{\partial T(o)}{\partial n} - \frac{1}{24} \bar{M} L^3 + \sqrt{3} r \frac{\partial T(o)}{\partial n} + \frac{\sqrt{3} r^3}{48} \left( \frac{\partial^3 T(o^+)}{\partial n^3} + \frac{\partial^3 T(o^-)}{\partial n^3} \right) = \\ &= \frac{\lambda L^3}{24} \left( -\bar{M} + \frac{1}{6} \left( \frac{\partial^3 T(o^+)}{\partial n^3} + \frac{\partial^3 T(o^-)}{\partial n^3} \right) \right) = \frac{\lambda L^3}{24} \tilde{M}, \end{aligned} \quad (15)$$

$$|\tilde{M}| \leq M_3 + \frac{2M_3}{6} = \frac{4M_3}{3}.$$

Таким образом, погрешность аппроксимации имеет третий порядок относительно размера стороны треугольника.

Определим погрешность, возникающую за счет неточности определения температуры в центрах треугольников. Разложим  $T(x, y)$  в ряд в окрестности центра треугольника

$$\begin{aligned} T(x, y) &= T(x_0, y_0) + \frac{\partial T(o)}{\partial x} dx + \frac{\partial T(o)}{\partial y} dy + \\ &+ \frac{1}{2} \left( \frac{\partial^2 T(\bar{o})}{\partial x^2} dx^2 + 2 \frac{\partial^2 T(\bar{o})}{\partial x \partial y} dx dy + \frac{\partial^2 T(\bar{o})}{\partial y^2} dy^2 \right), \end{aligned} \quad (16)$$

Проинтегрируем это равенство по площади треугольника:

$$\iint_{S_{\Delta}} T(x, y) dx dy = T(x_0, y_0) S_{\Delta} + O(L^4). \quad (17)$$

Погрешность последней формулы имеет порядок ( $L^4$ ) и ей можно пренебречь. Поэтому погрешность аппроксимации при вычислении потока по формулам (3) и (4) для правильных треугольников есть величина порядка  $L^3$ .

В случае неправильных треугольников эта погрешность имеет порядок  $L^2$ . Действительно, при расчетах по формулам (3) и (4) предполагается, что температура известна в трех точках –  $I, J, K$  (рис.1).

Отсюда определяются три первых коэффициента разложения в ряд температуры

$$T = T_0 + \frac{\partial T(o)}{\partial x} dx + \frac{\partial T(o)}{\partial y} dy + \dots \quad (18)$$

В предположении линейности распределения температуры в элементах, это равносильно отбрасыванию членов второго порядка в последнем разложении, а это определяет второй порядок аппроксимации.

**Сходимость метода.** Пусть  $\{\Theta_m\} \in \mathfrak{R}_m$ ,  $\{q_n\} \in \mathfrak{R}_n$  – переменные внутренних энергий и потоков (в дальнейшем будем писать их без фигурных скобок),  $g \in \mathfrak{R}_m$  – переменная внешних потоков (для внутренних элементов  $g_k = 0$ ). Для граничных элементов потоки  $g_i$  войдут в качестве слагаемых в правую часть формулы (7). Точные значения величин будем помечать чертой сверху.

Начальное распределение температуры  $\Theta_0 = \bar{\Theta}_0$ . На первом шаге находим

$$\begin{aligned} Q_1 &= B\Theta_0, \\ \Theta_1 &= \Theta_0 + A Q_1 + g_1 = (E + AB)\Theta_0 + g_1, \\ \tilde{Q}_1 &= B\Theta_0 + \delta Q_1 = Q_1 + \delta Q_1, \\ \bar{\Theta}_1 &= \Theta_0 + A\bar{Q}_1 + g_1 = (E + AB)\Theta_0 + A\delta Q_1 + g_1 = \Theta_1 + A\delta Q_1, \end{aligned}$$

где  $E$  – единичная матрица. Погрешность в определении потока  $\delta Q_1 = \bar{Q}_1 - Q_1$  обусловлена неточностью формул (3), (4) и (5). При доказательстве устойчивости схемы по начальным данным аппроксимацию граничных условий можно считать точной.

На первом шаге по времени совершается ошибка  $\bar{\Theta}_1 - \Theta_1 = A\delta Q_1$ .

Аналогично на следующей итерации

$$\begin{aligned} Q_2 &= B\Theta_1, \\ \Theta_2 &= \Theta_1 + AQ_2 + g_2, \\ \bar{Q}_2 &= B\bar{\Theta}_1 + \delta Q_2 = B\Theta_1 + AB\delta Q_1 + \delta Q_2, \\ \bar{\Theta}_2 &= \bar{\Theta}_1 + AQ_2 + g_2 = \Theta_2 + (E + AB)A\delta Q_1 + \delta Q_2, \\ \bar{\Theta}_2 - \Theta_2 &= (E + AB)A\delta Q_1 + A\delta Q_2. \end{aligned}$$

Пусть  $C = E + AB$ . По индукции получаем формулу для погрешности на  $k$ -ом шаге

$$\bar{\Theta}_k - \Theta_k = C^{k-1}A\delta Q_1 + C^{k-2}A\delta Q_2 + \dots + A\delta Q_k. \quad (19)$$

В качестве норм векторов  $X$  и матриц  $Y$  возьмем следующие:

$$\|X\| = \max_{1 \leq i \leq m} |x_i|, \quad \|Y\| = \max_{1 \leq j \leq n} \sum_{i=1}^n |y_{ij}|.$$

Эти нормы являются согласованными:  $\|YX\| \leq \|Y\| \cdot \|X\|$ .

Получить оценку погрешности непосредственно из формулы (19) не удастся, так как  $\|C\| \geq 1$ , поэтому оценим величины  $A \cdot \delta Q_i$ ,  $i = 1, \dots, k$ . Так как погрешность при вычислении потока не превосходит  $L^2$ , то

$$\|\delta Q_i\| \leq \xi \lambda M_2 L^2, \quad \xi = \text{Const}, \quad \left| \frac{\partial^2 T}{\partial x^\alpha \partial y^\beta} \right| \leq M_2, \quad \alpha + \beta = 2. \quad (20)$$

Учитывая последнюю формулу, получим

$$\|A \cdot \delta Q_i\| \leq \|A\| \cdot \|\delta Q_i\| \leq \|A\| \xi \lambda M_2 L^2 = \eta, \quad i = 1, \dots, k.$$

Между векторами внутренних энергий и температур матричным равенством  $\Theta = S \cdot T$ , где  $S$  – диагональная матрица площадей треугольников с элементами  $s_{ii} = \frac{\lambda}{a} S_i$ ,  $i = 1, \dots, n$  устанавливается взаимно однозначное соответствие. При этом  $T = S^{-1}\Theta$ . Преобразуем равенство (19):

$$\begin{aligned} \delta \bar{T}_k &= \bar{T}_k - T_k = S^{-1}(C^{k-1}A\delta Q_1 + \dots + A\delta Q_k) = \\ &= (S^{-1}CS)^{k-1}(S^{-1}A\delta Q_1) + \dots + S^{-1}A\delta Q_k. \end{aligned}$$

Обозначим  $G = S^{-1}CS$  – матрицу перехода для вектора  $T$ :  $T^{k+1} = GT^k$ . При нулевых граничных условиях  $\tilde{T} = G\tilde{T}$ , откуда  $\|G\| \geq 1$ . Можно показать, что при выполнении условий  $\Delta t/L^2 < R$ , где  $R$  – положительная

постоянная,  $\|G\| = 1$ . При выполнении последнего условия матрица перехода вычислительной схемы  $T^{k+1} = GT^k$ ,  $T^0 = T_0$ , имеет норму, равную 1. Поэтому

$$\|T^k\| \leq \|T_i\|, \quad \|\Theta^k\| \leq \|S\| \|T^k\| \leq \|S\| \|T_i\| \leq \|S\| \|S^{-1}\| \|\Theta_i\|,$$

откуда

$$\|T^k\| \leq \|T_0\|, \quad \|\Theta^k\| \leq \|S\| \|S^{-1}\| \|\Theta_0\|. \quad (21)$$

Схема метода является линейной и позволяет применять результаты, пригодные для других явных схем, например, приведенные в [1].

Метод балансов может быть применен для решения уравнения теплопроводности с переменными коэффициентами. При этом необходимо определять тепло- и температуропроводность на каждом шаге по времени и следить за равенством потоков на границах элементов.

Для проверки точности вычислительной схемы получено аналитическое решение нелинейного уравнения теплопроводности

$$\frac{\lambda}{a} \frac{\partial T}{\partial t} = \frac{\partial}{\partial x} \left( \lambda \frac{\partial T}{\partial x} \right) + \frac{\partial}{\partial y} \left( \lambda \frac{\partial T}{\partial y} \right)$$

в виде  $T = (\delta t + \alpha x + \beta y + \gamma)^n$ , причем предполагали следующие зависимости  $\lambda = \lambda_0 T^\sigma$ ,  $a = a_0 T^\mu$ , где  $\lambda_0$ ,  $a_0$ ,  $\sigma$ ,  $\mu$  – некоторые константы. Уравнение теплопроводности дает связь между ними

$$n = \frac{1}{\mu}, \quad \frac{a_0}{\sigma} = \frac{\mu}{(\sigma + 1 - \mu)(\alpha^2 + \beta^2)}.$$

С помощью аналитического решения протестирован метод балансов. Погрешность метода исследовали для области, граница которой в полярных координатах задается уравнением  $r(\varphi) = a + b \cos \varphi$ ,  $a - b > 0$ .

Граничное условие второго рода задается через градиент температуры. Если в соответствии с точным решением вычислить начальное распределение температуры, то поставлена задача теплопроводности с известным решением. Получено, что относительная погрешность расчетов менее 2% вблизи границы области и 1,5% внутри.

Разработанный метод применен для решения задачи нагрева слитков в нагревательной печи. Проведены расчеты нагрева изделий шести – и восьмиугольной формы. Площадь сечения изделий во всех вариантах расчетов равна площади круга диаметром 0,5 м. Тепловой поток на поверхность



металла задавали с помощью зависимости

$$q(\varphi, t) = \bar{q}(t) + \Delta q(t) \left( 0,467 - 2 \left( \frac{\varphi}{\pi} \right)^2 + \left( \frac{\varphi}{\pi} \right)^4 \right).$$

Значения среднего теплового потока  $\bar{q}(t)$  приняты в соответствии с реальными скоростями нагрева металла в печах. На режиме подъема температуры  $\bar{q} = 2,3 \cdot 10^4 \text{Вт/м}^2$  – для нагревательных,  $\bar{q} = 1,4 \cdot 10^4 \text{Вт/м}^2$  – для термических печей. На режиме выдержки

$$\bar{q}_в(t) = 4\bar{q} \sum_{n=1}^{\infty} \frac{\exp\left(-\mu_n^2 \frac{a(t-t_n)}{R^2}\right)}{\mu_n^2}, \quad \text{Вт/м}^2,$$

где  $\mu_n$  – корни уравнения  $I_0(\mu) = 0$ ,  $t_n$  – время подъема температуры металла, сек. Рассмотрены два способа задания неравномерности теплового потока по поверхности. Первый из них соответствует максимальной неравномерности нагрева в начальный момент времени и уменьшение её до нуля при переходе к режиму выдержки, второй – максимальной неравномерности в середине периода подъема температуры.

Проведено сравнение результатов расчетов полей температуры для тел круглой, шести- и восьмигранной формы. В таблице 1 приведены значения наибольшего за период нагрева перепада температуры по поверхности и сечению для различных значений неравномерности теплового потока. Видно, что влияние формы слитков на создание в них перепада температуры значительно меньше, чем неравномерности теплового потока.

Таблица 1. Значения максимального перепада температуры, ( $^{\circ}\text{C}$ ), по поверхности и сечению нагреваемых изделий различной формы

Форма слитка	$\Delta q = 0$		$\Delta q = 0,66 \cdot 10^4$ $\text{Вт/м}^2$		$\Delta q = 1,33 \cdot 10^4$ $\text{Вт/м}^2$		$\Delta q = 1,98 \cdot 10^4$ $\text{Вт/м}^2$	
	$\Delta T_{нов}$	$\Delta T_{сеч}$	$\Delta T_{нов}$	$\Delta T_{сеч}$	$\Delta T_{нов}$	$\Delta T_{сеч}$	$\Delta T_{нов}$	$\Delta T_{сеч}$
Цилиндрическая	0	162	110	227	215	295	320	387
Шестигранная	0	170	104	235	203	281	307	364
Восьмигранная	0	167	106	232	210	289	312	379

## Литература

- [1] Самарский А.А. Теория разностных схем. М.: Наука, 1983.